## О ВОЗМОЖНОМ ВЛИЯНИИ МЕРИДИОНАЛЬНОГО ГРАДИЕНТА ИНСОЛЯЦИИ НА ТЕНДЕНЦИИ ИЗМЕНЕНИЯ ГЛОБАЛЬНОГО КЛИМАТА

## Фёдоров В.М., Фролов Д.М.

Московский государственный университет имени М.В. Ломоносова,

## fedorov.msu@mail.ru, denisfrolovm@mail.ru

Х 10

1

0.5

0

-0.5

-1

-1.5

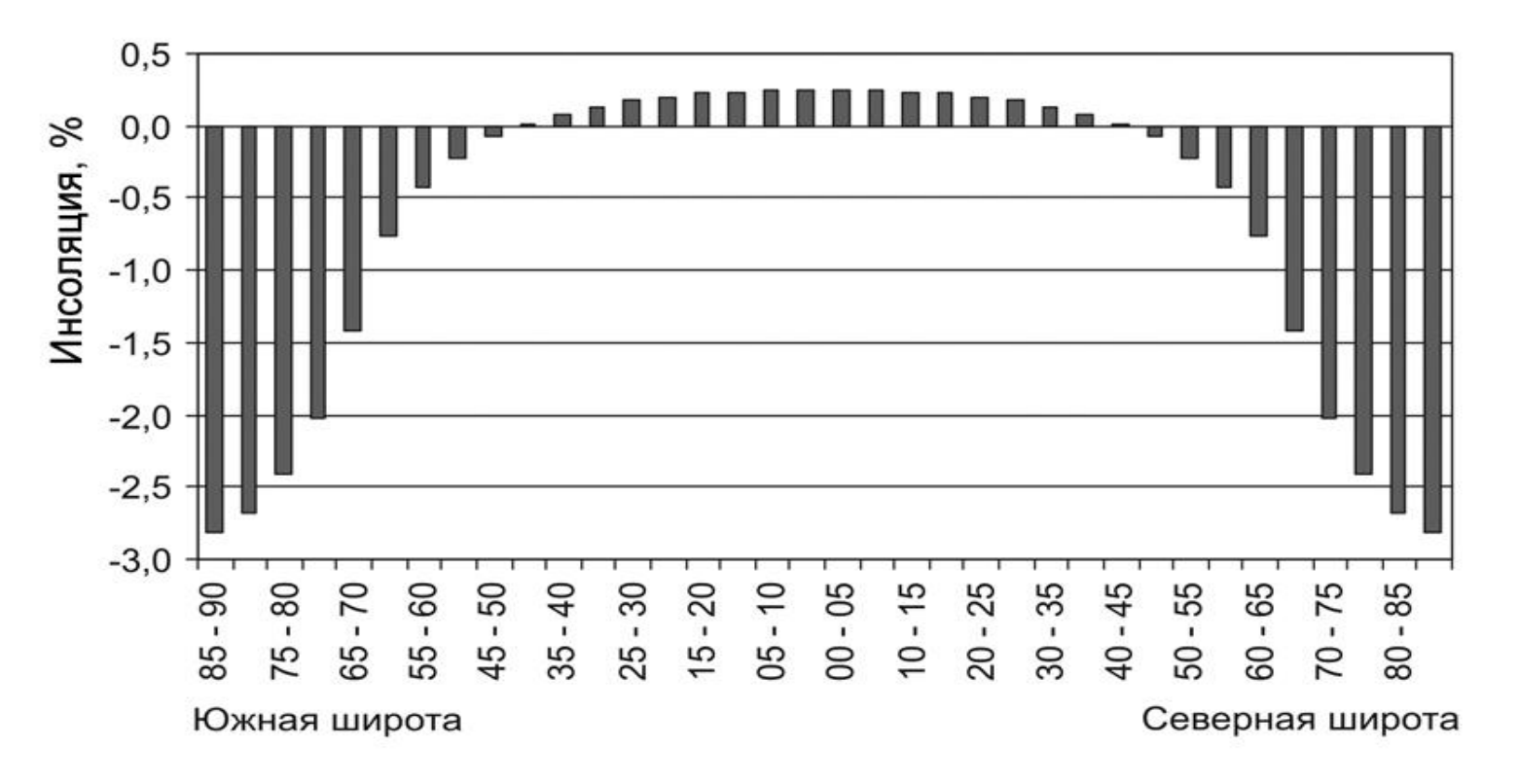
-2

-2.5

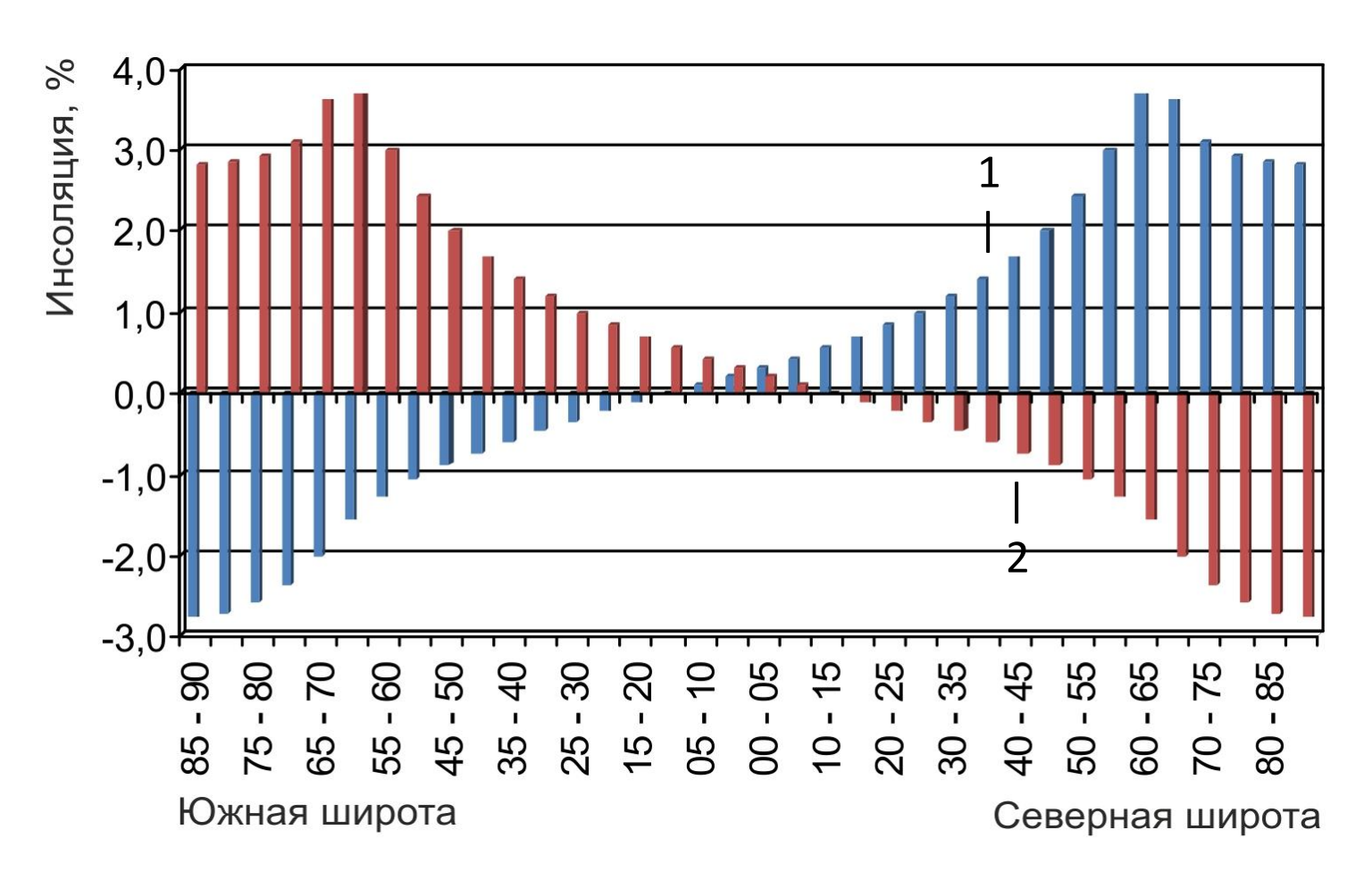
-3.5

-3.5

**Рис. 1.** Пространственно – временные изменения инсоляции Земли (без учета атмосферы) в интервале с 3000 г. до н.э. по 2999 г. н.э.



**Рис. 2.** Изменение годовой инсоляции в широтных зонах Земли в интервале с 3000 г. до н.э. по 2999 г.



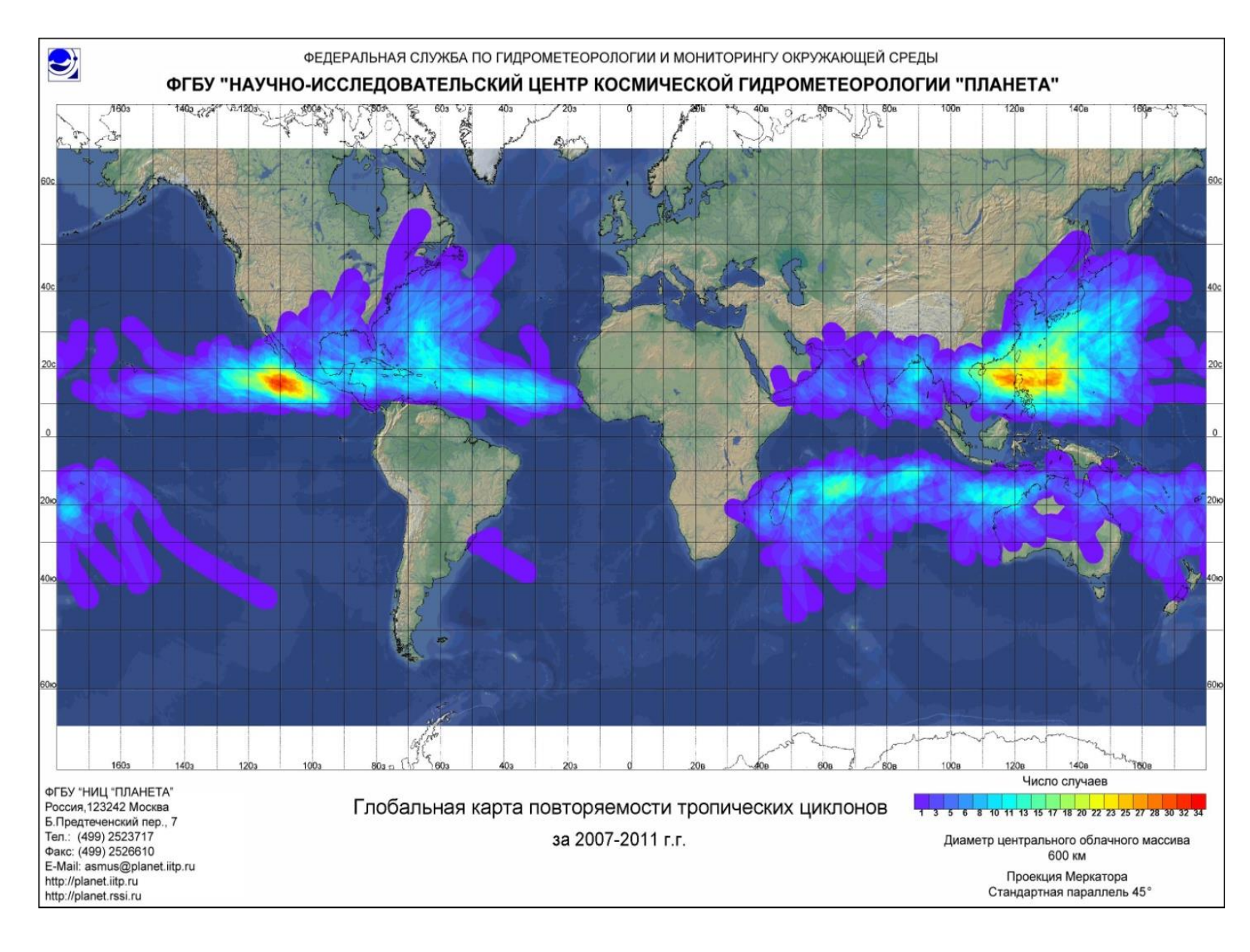
**Рис. 3.** Изменение инсоляции в широтных зонах Земли (3000 г. до н.э. – 2999 г. н.э.) в зимнее (1) и летнее (2) полугодие (для северного полушария).



**Рис. 4.** Изменение годового МГИ за 5999 лет (в процентах от среднего для широтной зоны значения)



Рис. 5. Изменение полугодового МГИ в зимнее (1) и летнее (2) полугодие для северного полушария за 5998 лет (в процентах от среднего для широтной зоны значения)



**Рис. 6.** Карта повторяемости тропических циклонов (за 5 лет) (http://planet.iitp.ru/Oper\_pr/tc\_data/tc\_data\_1.htm).

Вариации приходящей к Земле солнечной радиации в основном определяются двумя причинами, имеющими различную физическую природу. Одной из причин является изменение активности в излучении Солнца. Другая причина связана с небесно-механическими процессами, изменяющими элементы земной орбиты и наклон оси вращения [2]. Под солярным климатом Земли понимается рассчитываемое теоретически поступление и распределение солнечной радиации на верхней границе атмосферы (ВГА) или на поверхности Земли без учета атмосферы [2]. При этом изменение активности Солнца не учитывается.

Инсоляция рассчитывалась с большим пространственным и временным разрешением [4, 7, 8]. Расчеты выполнялись по данным высокоточных астрономических эфемерид [9] для всей поверхности Земли (без учета атмосферы) в интервале с 3000 г. до н.э. по 2999 г. н.э. Исходными астрономическими данными для расчетов инсоляции были склонение и эклиптическая долгота Солнца, расстояние от Земли до Солнца, разность хода равномерно текущего (координатного времени – СТ) и всемирного корректируемого времени (UT). Поверхность Земли аппроксимировалась эллипсоидом (GRS80 – Geodetic Reference System, 1980) с длинами полуосей равными 6378137 м (большие) и 6356752 м (малая). В общем виде алгоритм расчетов можно представить выражением:

$$I_{nm}(\varphi_1, \varphi_2) = \int_{t}^{t_2} \left( \int_{0}^{\varphi_2} \sigma(H, \varphi) \left( \int_{0}^{\pi} \Lambda(H, t, \varphi, \alpha) d\alpha \right) d\varphi \right) dt$$

где I — где I — приходящая солнечная радиация за элементарный п-й фрагмент m-го тропического года (Дж);  $\sigma$  — площадной множитель (м²), с помощью которого вычисляется площадной дифференциал  $\sigma(H,\phi)d\alpha d\phi$  — площадь бесконечно малой трапеции — ячейки эллипсоида;  $\alpha$  — часовой угол,  $\phi$  — географическая широта, выраженные в радианах; H — высота поверхности эллипсоида относительно поверхности Земли (м);  $\Lambda(H,\phi,t,\alpha)$  — инсоляция в заданный момент в заданном месте поверхности эллипсоида ( $Bt/m^2$ ), t — время (с). Шаги при интегрировании составляли: по долготе 1°, по широте 1°, по времени 1/360 часть продолжительности тропического года. Значение солнечной постоянной (среднее многолетнее значение TSI) принималось равным 1361  $Bt/m^2$ . Изменение активности Солнца не учитывалось [4, 8].

Годовое поступление к Земле солнечной радиации за 5999 лет сокращается всего на 0,005% [6 -8]. Однако, отмечается увеличение инсоляции в экваториальной области (0,25%) и сокращение в полярных районах (2,73%) — тенденция усиления широтной контрастности в солярном климате (рис. 1, 2). Отмечается сокращение инсоляции в летние для полушарий полугодия (2,9%) и увеличение в зимние (3,75%) — проявляется тенденция сглаживания сезонных различий в солярном климате Земли (рис. 3).

Из-за неравномерности в распределении солнечной радиации на поверхности Земли возникает меридиональный градиент инсоляции (МГИ) [1, 3]. Получено изменение годового МГИ за 5998 лет (рис. 4). Максимумы увеличения локализованы вблизи полярных кругов (60°–70° широты — годовые «зоны турбулентности»). Отмеченные «зоны турбулентности» совпадают с районами максимального развития внетропических циклонов (циклогенеза) в полушариях [1, 3]. Увеличение годового МГИ приходится на области локализации циркуляционных ячеек Хедли и Ферреля в атмосфере. Уменьшение годового МГИ приходится на области полярных ячеек.

Определены многолетние изменения МГИ для зимнего и летнего (в северном полушарии) полугодия (рис. 5). Значения МГИ максимально увеличиваются в зимнее (для северного полушария) полугодие в широтной зоне 15°–20° ю.ш. (11,8%) и максимально сокращаются в зоне 10°–15° ю.ш. (17,8%). В летнее (для северного полушария) полугодие максимальное увеличение (11,8%) отмечается в широтной зоне 10°–15° с.ш., максимальное сокращение (17,8%) в широтной зоне 5°–10° с.ш. Таким образом, в летних полушариях выделяются сезонные «зоны турбулентности» расположенные в широтном диапазоне 5°–20° градусов широты. Здесь в соседних 5-ти градусных широтных зонах отмечаются максимальные расхождения в тенденциях изменения летнего МГИ. Сезонные «зоны турбулентности» совпадают с областями генерации тропических циклонов (80% которых формируется в пределах диапазона 10°–20° широты (рис. 6)). С вихревым переносом энергии связана работа «тепловой машины первого рода», механизма меридионального переноса тепла из низких широт в высокие (рис. 7). В полярных областях (полярные циркуляционные ячейки) в зимние полугодия в полушариях отмечается увеличение МГИ, в летние полугодия сокращение.

Полученное среднее распределение годового МГИ сравнивалось с меридиональным распределением среднего годового переноса энергии в системе океан – атмосфера приведенным в работах Лоренца [1] и Пальмена, Ньютона [3] (рис. 8). Коэффициент корреляции между средними значениями годового МГИ и значениями переноса энергии в системе океан – атмосфера составил 0,98 (линейная связь). При этом численные значения переноса энергии в системе океан – атмосфера в работах [1, 3] в среднем в 6–7 раз, превосходят значения МГИ, что может быть связано с участием в переносе энергии в системе океан – атмосфера водных и воздушных масс.

Поскольку перенос энергии в системе океан – атмосфера определяется МГИ, то и полученные для него особенности могут проявляться и в системе океан – атмосфера (возрастание интенсивности циркуляции в ячейках общей циркуляции атмосферы, усиление вихревого переноса энергии и климатической турбулентности). Отмечаемые для современной эпохи особенности солярного климата Земли связаны с уменьшением наклона оси вращения Земли в результате прецессии [2, 7, 8].

В результате корреляционного анализа определена связь многолетних изменениях аномалии ПТВ Земли и полушарий с многолетними изменениями инсоляционной контрастности (ИК). Для полушарий ИК рассчитывалась как разность солнечной радиации приходящей в широтную область 0°–45° (источник тепла) и 45°–90° (стока тепла) за год. Для Земли в качестве ИК принималось среднее годовое значение ИК, полученное для полушарий. ИК рассчитывалась по полученным нами значениям инсоляции Земли [4, 5]. ИК, таким образом, обобщенно (по областям источника и стока тепла) отражает изменение МГИ. Многолетние изменения ИК определяются изменением угла наклона оси вращения Земли в результате прецессии и нутации [5 – 7] (рис. 9) Изменение ИК линейно связано с изменением угла наклона оси вращения Земли (коэффициент корреляции составляет -0,998).

Изменения ПТВ и ТПО Земли и полушарий в основном учитываются трендами (рис. 10). Коэффициент детерминации (R<sup>2</sup>) показывает долю изменений ПТВ определяемую трендом (полином второй степени). Следовательно, чтобы объяснить тенденции многолетних изменений глобальной температуры следует определить фактор, определяющий тренды в исходных рядах ПТВ и ТПО. Анализ показывает, что многолетние изменения глобальной ПТВ и ТПО характеризуются тесными положительными корреляционными связями с многолетними изменениями УК и отрицательными с многолетними изменениями угла наклона оси. (табл. 1).

Таким образом, определяются естественные причины изменения современного глобального климата. Основной из них является изменение наклона оси вращения Земли, регулирующее распределение приходящей к Земле солнечной радиации по широтам и сезонам и интенсивность меридионального теплообмена (работы «тепловой машины первого рода») (рис. 11).

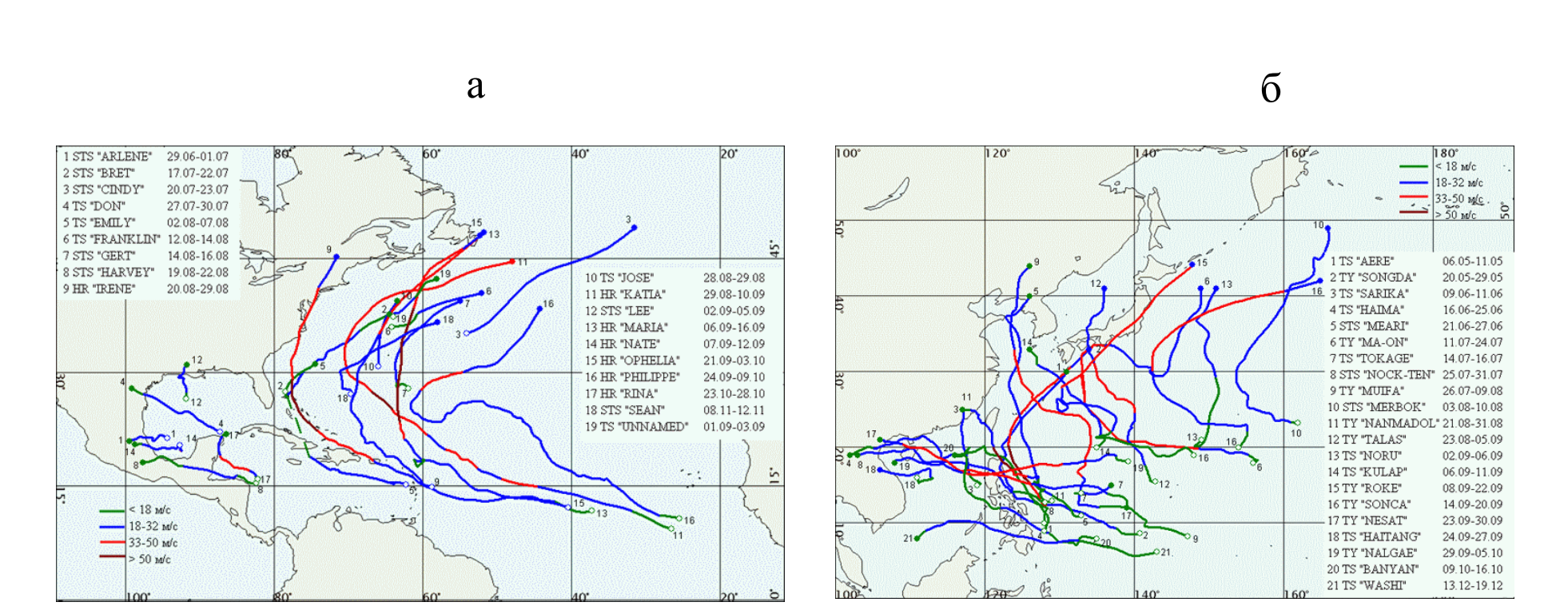
## Литература

- 1. Лоренц Э.Н. Природа и теория общей циркуляции атмосферы. Л.: Гидрометеоиздат, 1970. 260 с.
  2. Миланкович М. Математическая климатология и астрономическая теория колебаний климата. М.–Л.:
- ГОНТИ, 1939. 208 с. 3. Пальмен Э. Ньютон Ч. Циркуляционные системы атмосферы. Л.: Гидрометеоиздат, 1973. 616 с. 4. Федоров В.М., Костин А.А. Вычисление инсоляции Земли для периода от 3000 г. до н.э. до 2999 г. н.э
- // Процессы в геосредах, 2019. № 2. С. 254 262 5. Федоров В.М. Инсоляция Земли и современные изменения климата. М.: Физматлит, 2018. 232 с.
- 6. Фёдоров В.М. Проблема меридионального переноса тепла в астрономической теории климата // Геофизические процессы и биосфера, 2019. Т. 18. № 3. С. 117 128. DOI: 10.21455/GPB2019.3-8
- Теофизические процессы и биосфера, 2019. 1. 18. № 3. С. 117 128. DOI: 10.21455/GPB2019.3-8
   Федоров В.М. Вариации инсоляции Земли и особенности их учета в физико-математических моделях
- 8. Fedorov V.M., Frolov D.M. Spatial and temporal variability of solar radiation arriving at the top the atmosphere // Cosmic Research, 2019. V. 57. № 3. Pp. 156 162. DOI: 10.1134/S0010952519030043

  9. http://ssd.jpl.nasa.gov NASA, Jet Propulsion Laboratory California Institute of Technology (JPL Solar

System Dynamics). Электронный ресурс национального аэрокосмического агентства США.

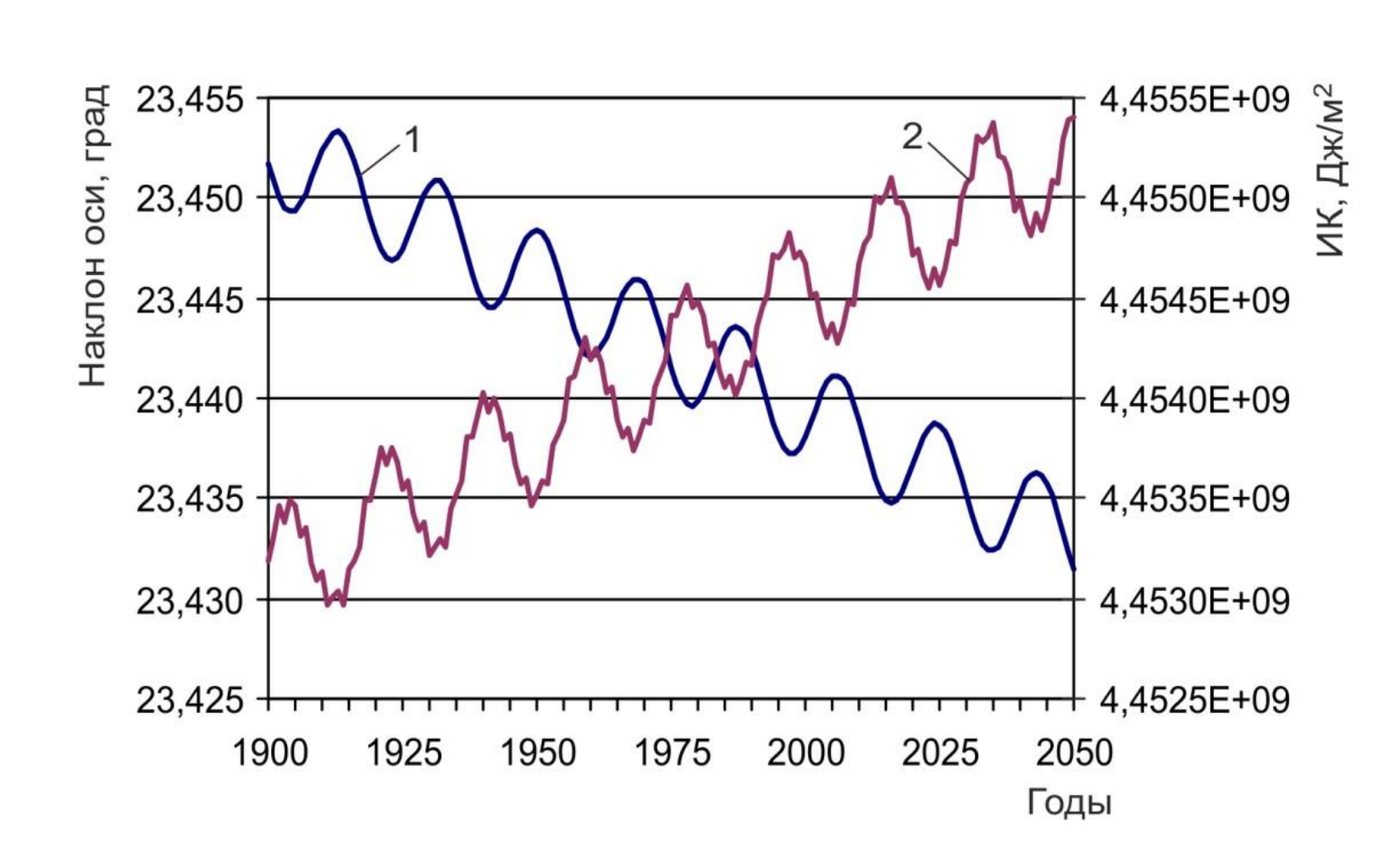
климата // Успехи физических наук, 2019. Т. 189. № 1. С. 33 – 46. DOI: 10.3367/UFNr.2017.12.038267



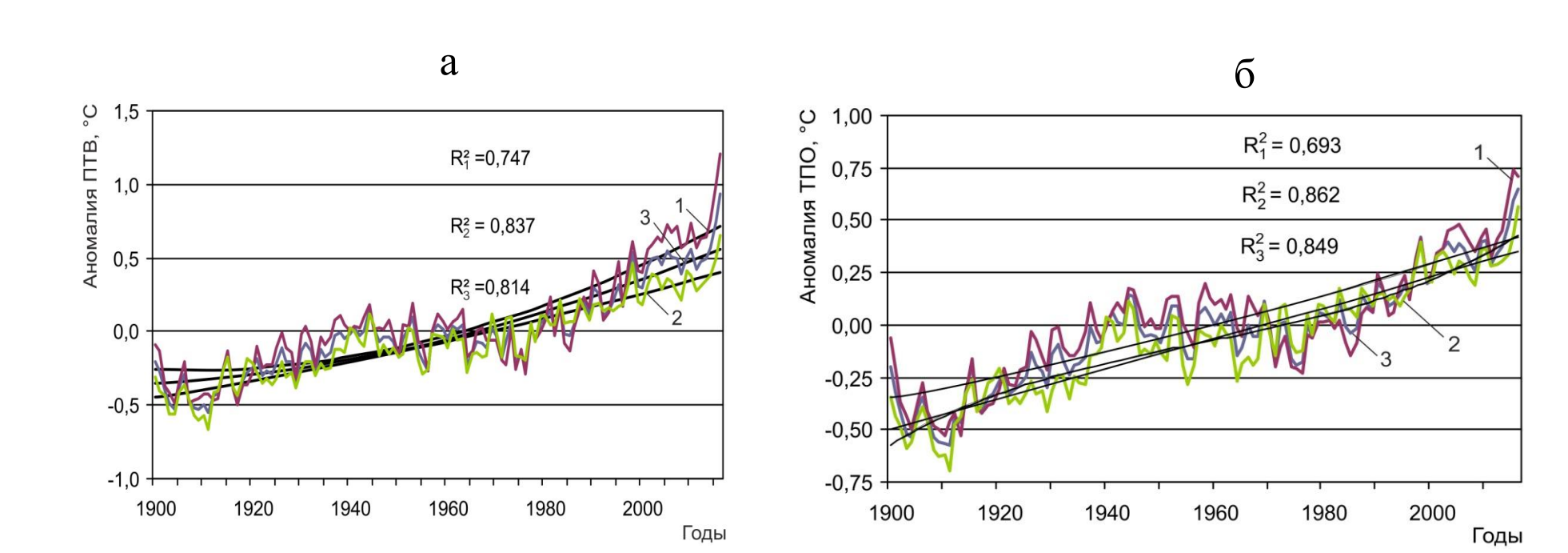
**Рис. 7.** Траектории тропических циклонов в 2011 году в Атлантическом (а) и Тихом (б) океане (<a href="http://meteoinfo.ru">http://meteoinfo.ru</a>)



**Рис. 8.** Среднее многолетние значение меридионального градиента инсоляции МГИ (1) и средний годовой перенос энергии в системе океан – атмосфера (2) (Лоренц, 1970; Пальмен, Ньютон, 1973).



**Рис. 9.** Многолетние изменения угла наклона оси вращения (1) и инсоляционной контрастности (2) Земли. Наклон оси с 1900 по 2016 гг. уменьшается на 0,015°, ИК увеличивается на 0,7 Вт/м2 , ПТВ Земли и ТПО Мирового океана повышается на 1°С и 0,9°С.



**Рис. 10.** Многолетние изменения глобальной температуры (http://crudata.uea.ac.uk/cru/data/temperature): а — ПТВ, б — ТПО (1 — северное полушарие, 2 — южное полушарие, 3 — Земля/Мировой океан)

	Земля/Мировой океан	Северное полушарие	Южное полушарие
Приповерхностная температура воздуха (ПТВ)			
ИК	80,7%	73,4%	83,1%
ИК и КМО	88,3%	86,4%	84,0%
Температура поверхности океана (ТПО)			
ИК	79,7%	69.3%	84.1%
ИК и КМО	88,5%	86,6%	85,9%

**Табл. 1.** Многолетние изменения ПТВ и ТПО объясняемые изменениями ИК по регрессионной модели. КМО – климатическая мультидекадная осцилляция (с периодом около 60 лет).



+ дополнительное тепло из-за уменьшения альбедо в результате сокращения площади морских льдов и ледников

**Рис. 11.** Принципиальная схема радиационного теплообмена в атмосфере